

PTC 2456 – Proc. Sinais Biomédico
Filtros FIR

Filtros do tipo FIR

Finite Impulse Response

Prof. Sérgio S Furuie

Referência específica: cap. 4 do Semmlow

EPUSP PTC/LEB - S.Furuie

Plano de aula

- Motivação
- Exemplos em sinais e imagens
- Ruído
- Características de filtros
- Filtros tipo FIR
- Analisando filtros FIR
- Projetando filtros FIR

EPUSP PTC/LEB - S.Furuie

ECG com ruído: o que fazer?

< 70 Hz

> 0.05 Hz

exclusão 60, 180,

EPUSP PTC/LEB - S.Furuie

Motivação / Importância de filtros

- restauração de sinais e imagens
- Melhoria da relação Sinal/Ruído (SNR)
 - Quantificação
 - Análise
 - Reconhecimento de padrões

EPUSP PTC/LEB - S.Furuie

Medidas: bandas e faixas

Parâmetro	Faixa	Banda(Hz)	Transdutor
Fluxo sang.	1-300 ml/s	dc-20	Ultrassom, FEM
Pressão arterial	10-400 mmHg	dc-50	Piezo-el., strain-gage,
ECG (superf.)	0.5 – 4 mV	.01 – 250	eletrodos
Potenciais em nervos	0.01 – 3 mV	Dc – 10000	eletrodos
Respiração	2 – 50 r/min	0.1 – 10	Strain gage, termistor, ..

EPUSP PTC/LEB - S.Furuie

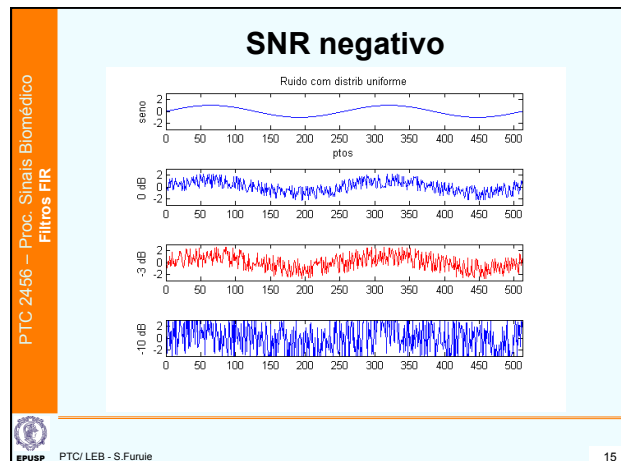
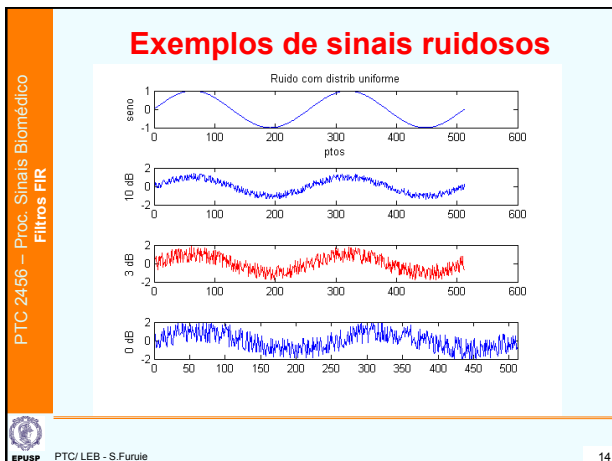
Filtros analógicos

- Passa-baixa
 - $Z_1=R_1$
 - $Z_2=R_2 // C_2$
- Passa-alta
 - $Z_1= R_1 + C_1$
 - $Z_2=R_2$
- Passa-faixa
 - $Z_1= R_1 + C_1$
 - $Z_2=R_2 // C_2$

$$\frac{S(j\omega)}{E(j\omega)} = - \frac{R_2}{R_1(1 + j\omega R_2 C_2)}$$

Para evitar **aliasing** => filtro analógico (se necessário) antes do processamento digital

EPUSP PTC/LEB - S.Furuie



- PTC 2456 – Proc. Sinais Biomédico
Filtros FIR
- ### Plano de aula
- Motivação
 - Exemplos em sinais e imagens
 - Ruído
 - Características de filtros
 - Filtros tipo FIR
 - Analisando filtros FIR
 - Projetando filtros FIR
- EPUSP PTC/LEB - S.Furule 16

- PTC 2456 – Proc. Sinais Biomédico
Filtros FIR
- ### Filtros: características ?
- Características principais
 - Tipo: passa-baixa, passa-alta, passa-faixa,
 - Banda passante de frequência: frequência de corte
 - Características de atenuação: ordem do filtro, taxa de atenuação (efeito Gibbs,...)
 - Fase linear e não-linear
- EPUSP PTC/LEB - S.Furule 17

- PTC 2456 – Proc. Sinais Biomédico
Filtros FIR
- ### Filtros lineares invariantes (LTI)
- O que significa ser linear e invariante ao tempo?
 - Filtros lineares e invariantes (LTI)
 - são suficientemente caracterizados pela resposta ao impulso
 - possibilita tratamento matemático simplificado
 - convolução => resposta do sistema
 - análise no domínio da frequência
- LTI=> aplicável convolução => $Y=HX$ (TDF)
- EPUSP PTC/LEB - S.Furule 19

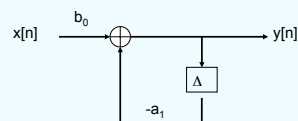
- PTC 2456 – Proc. Sinais Biomédico
Filtros FIR
- ### O que desejamos dos filtros?
- Analisar o comportamento em frequência
 - Tipo de filtro: passa-baixa, passa-alta?
 - Frequências de corte
 - Produz degradações? (fase não-linear)
 - Projetar um filtro com determinado comportamento em frequência
- EPUSP PTC/LEB - S.Furule 21

Análise/Interpretações

- Resposta impulsiva
- Resposta em frequência
 - Amplitude $H(w) = |H(w)| \cdot e^{j\Theta(w)}$
 - Fase $\Theta(w)$
 - Atraso $\frac{\Theta(w)}{w}$
 - Atraso de grupo $-\frac{d\Theta(w)}{dw}$
- Função de transferência em Z
- Zeros-pólos
- Expansão em frações parciais

Ex.Representação de LTI discretos

$$y[n] = b_0 \cdot x[n] - a_1 \cdot y[n-1]$$



Vale para qualquer n (LTI)

Modelos de séries temporais

$$y[n] + a_1 y[n-1] + \dots + a_N y[n-N] = b_0 x[n] + b_1 x[n-1] + \dots + b_M x[n-M]$$

$$\sum_{k=0}^N a_k y[n-k] = \sum_{k=0}^M b_k x[n-k] \quad \begin{matrix} \text{ARMA} \\ \text{(IIR)} \end{matrix}$$

$$y[n] = \sum_{k=0}^M b_k x[n-k] \quad \begin{matrix} \text{MA: moving average} \\ \text{(FIR)} \end{matrix}$$

$$\sum_{k=0}^N a_k y[n-k] = b_0 x[n] \quad \begin{matrix} \text{AR: auto regressive} \\ \text{(IIR)} \end{matrix}$$

$a_0 = 1$

Diferenças entre FIR e IIR

$$x[n] = [0 \ 0 \ 0 \ 1 \ 0 \ 0 \ 0 \ 0]$$

$$\begin{matrix} y[n] = x[n] + 2x[n-1] + x[n-2] \\ y[n] = [\dots \ 0 \ 1 \ 2 \ 1 \ 0 \ 0] \end{matrix}$$

$$\begin{matrix} y[n] = 0.5y[n-1] + x[n] \\ y[n] = [\dots \ 0 \ 0 \ 0 \ 1 \ 0.5 \ 0.25 \ 0.125 \dots] \end{matrix}$$

FIR

- Estável
- Fase linear: projetável

IIR

- Resposta impulsiva infinita
- Menor ordem

FIR: Finite Impulse Response

Exemplos:

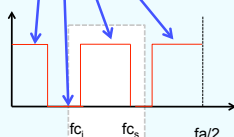
$$y[n] = \sum_{k=0}^M b_k x[n-k]$$

$$y[n] = \frac{x[n-1] + 2x[n] + x[n+1]}{4}$$

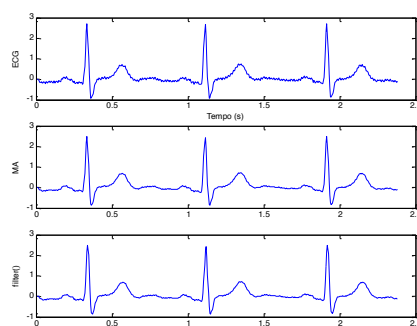
$$y[n] = x[n] - x[n-1]$$

$$y[n] = \frac{x[n+1] - x[n-1]}{2}$$

- Filtros passa-baixa
- Filtros passa-alta
- Filtros passa-faixa
- Filtros rejeita-faixa



filtragem digital: MA



PTC 2456 – Proc. Sinais Biomédico
Filtros FIR

Filtragem digital: FIR

MA=[1 2 1]/4

$$y[i] = (x[i-2] + 2x[i-1] + x[i])/4$$

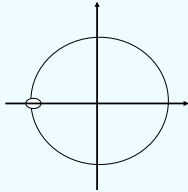
$$Y = (X \cdot z^{-2} + 2X \cdot z^{-1} + X)/4$$

$$\frac{Y(z)}{X(z)} = (z^{-2} + 2z^{-1} + 1)/4$$

$$\frac{Y(z)}{X(z)} = (z^{-1} + 1)^2 / 4$$

$$\frac{Y(e^{jw})}{X(e^{jw})} = (e^{-jw} + 1)^2 / 4 =$$

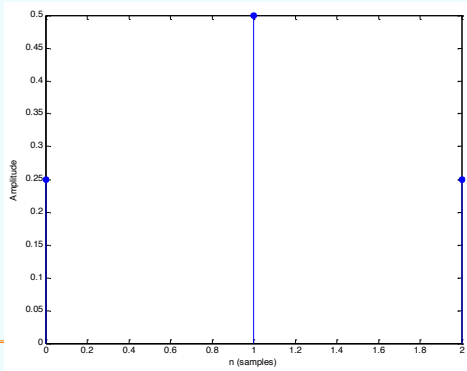
$$|H| = \left| \frac{1 + \cos w}{2} \right|$$

$$\varphi = -w$$


EPUSP PTC/LEB - S.Furule 31

PTC 2456 – Proc. Sinais Biomédico
Filtros FIR

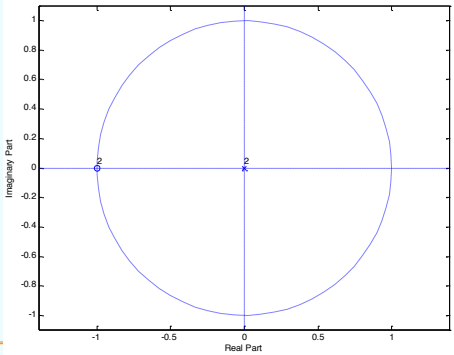
FIR: análise. Resp. Impulsiva



EPUSP PTC/LEB - S.Furule 32

PTC 2456 – Proc. Sinais Biomédico
Filtros FIR

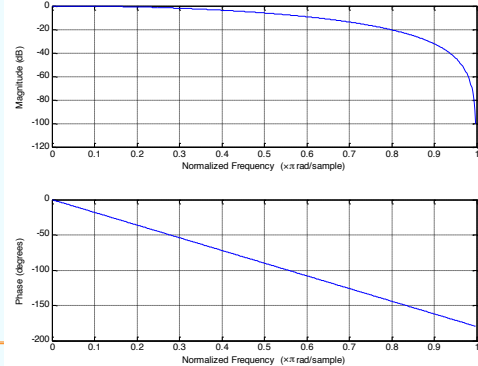
zeros



EPUSP PTC/LEB - S.Furule 33

PTC 2456 – Proc. Sinais Biomédico
Filtros FIR

Resposta em freq.



EPUSP PTC/LEB - S.Furule 34

PTC 2456 – Proc. Sinais Biomédico
Filtros FIR

Exercício

Repita a análise (ganho e fase no domínio da frequência) anterior para um filtro que realiza a média simples, ou seja:

$$h[n] = (h[n-2] + h[n-1] + h[n])/3$$

Suponha que a frequência de amostragem é de 1000 Hz.

- Qual a frequência de corte do filtro em Hz?
- Qual o atraso (em s) para 100Hz? E para 200 Hz?

EPUSP PTC/LEB - S.Furule 35

PTC 2456 – Proc. Sinais Biomédico
Filtros FIR

Exercício

Analisar o filtro abaixo no domínio da frequência: ganho e fase

$$y[n] = x[n] - x[n-1]$$

Compare com o filtro abaixo:

$$y[n] = \frac{x[n] - x[n-2]}{2}$$

$$\frac{Y(z)}{X(z)} = (1 - z^{-1})$$

$$\frac{Y(z)}{X(z)} = z^{-\frac{1}{2}}(z^{\frac{1}{2}} - z^{-\frac{1}{2}})$$

$$H(e^{jw}) = e^{-jw/2} 2j \operatorname{sen}(w/2)$$

$$|H| = |2 \operatorname{sen}(w/2)|$$

$$\varphi = \frac{\pi}{2} - w/2$$

$$H(e^{jw}) = e^{-jw} j \operatorname{sen}(w)$$

$$|H| = |\operatorname{sen}(w)|$$

$$\varphi = \frac{\pi}{2} - w$$

Passa-alta? Derivada? Passa-faixa?

EPUSP PTC/LEB - S.Furule 36

PTC 2456 – Proc. Sinais Biomédico
Filtros FIR

Projeto de filtros digitais: síntese

- Requisitos
 - freq. de corte
 - ondulações (ripple) de passa-banda
 - atenuação de stopband
 - faixa de transição

PTC/LEB - S.Furule 37

PTC 2456 – Proc. Sinais Biomédico
Filtros FIR

FIR

- fase linear possível
- estável
- hardware eficiente
- Métodos:
 - Amostragem em freq.
 - windowing
 - LS
 - arbitrário

$$y[k] = \sum_{n=0}^{N-1} x[n] h[k-n]$$

$$y[n] = \sum_{k=0}^{N-1} h[k] x[n-k]$$

$$Y(z) = X(z) \sum_{k=0}^{N-1} h[k] z^{-k}$$

$$H(z) = \sum_{k=0}^{N-1} h[k] z^{-k}$$

PTC/LEB - S.Furule 38

PTC 2456 – Proc. Sinais Biomédico
Filtros FIR

FIR - Por amostragem em freq.

1. Especificar o ganho e fase linear no dom. da freq. (0 a 2π)
2. Amostrar em L pontos
3. Obter a TFD⁻¹
4. Truncar em $N \leq L$ pontos p/ obter a resposta impulsiva

* Pode gerar overshooting no dom. da freq. devido ao truncamento no tempo.

PTC/LEB - S.Furule 39

PTC 2456 – Proc. Sinais Biomédico
Filtros FIR

Projeto de filtros FIR

PTC/LEB - S.Furule 44

PTC 2456 – Proc. Sinais Biomédico
Filtros FIR

Técnicas de projeto de FIR: janela

- 1) Função periódica do filtro ideal desejado no dom. freq.
- 2) Obter resposta impulsiva discreta no tempo (TFD⁻¹)
- 3) Aplicar a janela finita (multiplicar no tempo)
- 4) A resposta em freq. real = desejado * janela no dom. freq.

Ex.: filtro passa-baixo e janela retangular

$$h[k] = \frac{\sin(\omega_c k)}{\pi k}$$

$$k = -(N-1)/2, (N-1)/2$$

PTC/LEB - S.Furule 45

PTC 2456 – Proc. Sinais Biomédico
Filtros FIR

Domínio do tempo	Domínio da frequência
Contínuo, aperiódico $x(t) = \frac{1}{2\pi} \int_{-\infty}^{\infty} X(\omega) e^{j\omega t} d\omega$	Contínuo, aperiódico $X(\omega) = \int_{-\infty}^{\infty} x(t) e^{-j\omega t} dt$ $\omega = 2\pi f$
Contínuo, periódico(T) $x(t) = \sum_{k=-\infty}^{\infty} a_k e^{jk\omega_0 t}$	Discreto($2\pi/T$), aperiódico $\omega_0 = \frac{2\pi}{T}$ $a_k = \frac{1}{T} \int_T x(t) e^{-jk\omega_0 t} dt$
Discreto ($n\Delta$), aperiódico $x[n] = \frac{1}{2\pi} \int_{-\pi/\Delta}^{\pi/\Delta} X(\Omega) e^{j\Omega n} d\Omega$ $\Delta = 1/f_s$	Contínuo, periódico($2\pi/\Delta$) $\Omega = 2\pi f f_s$ $X(\Omega) = \sum_{n=-\infty}^{\infty} x[n] e^{-j\Omega n}$
Discreto ($n\Delta$), periódico(T) $x[n] = \sum_{k=-N}^N a_k e^{j2\pi \frac{k}{N} n}$	Discreto($2\pi/T$), periódico($2\pi/\Delta$) $a_k = \frac{1}{N} \sum_{n=-N}^N x[n] e^{-j2\pi \frac{k}{N} n}$

InCor/EPUSP SF 32

PTC/LEB - S.Furule 46

PTC 2456 – Proc. Sinais Biomédico
Filtros FIR

Janela (windowing)

$$h[n] = \frac{1}{2\pi} \int_0^{2\pi} H(e^{j\Omega}) e^{j\Omega n} d\Omega$$

$$H(e^{j\Omega}) = \sum_{n=-\infty}^{\infty} h[n] e^{-j\Omega n}$$

Limitando conteúdo em freq no tempo, e evitando overshooting:

Portanto, o resultado final do filtro FIR será a convolução do H com a função de transferência da janela

EPUSP PTC/LEB - S.Furule 47

PTC 2456 – Proc. Sinais Biomédico
Filtros FIR

FIR com janela retangular

Exemplo:
 $N = 25$
 $W_R(e^{j\omega}) = \sum_{n=-(N-1)/2}^{(N-1)/2} 1 e^{-j\omega n}$
 $W_R(e^{j\omega}) = \frac{\sin(\omega N / 2)}{\sin(\omega / 2)}$
 $= N \frac{\text{sinc}(\frac{\omega N}{2\pi})}{\text{sinc}(\frac{\omega}{2\pi})}$

Matlab: Fir1() e Fir2()

EPUSP PTC/LEB - S.Furule 48

PTC 2456 – Proc. Sinais Biomédico
Filtros FIR

Janela de Hamming

$$g_H[n] = \alpha + (1 - \alpha) \cos\left(\frac{2\pi n}{N}\right)$$

$$-\frac{N-1}{2} \leq n \leq \frac{N-1}{2}$$

Ex.: $\alpha=0.54$ (hanning), $N=51$

EPUSP PTC/LEB - S.Furule 49

PTC 2456 – Proc. Sinais Biomédico
Filtros FIR

Resposta em freq. do filtro de Hamming em dB

EPUSP PTC/LEB - S.Furule 50

PTC 2456 – Proc. Sinais Biomédico
Filtros FIR

Projeto de filtros FIR

EPUSP PTC/LEB - S.Furule 51

PTC 2456 – Proc. Sinais Biomédico
Filtros FIR

Abordagens para projeto FIR

- Parks-McClellan (Remez) – minimiza erro nas bandas de passagem e rejeição (aproximação de Chebyshev)
- Butterworth – maximamente plana

EPUSP PTC/LEB - S.Furule 52

Projeto de FIR: otimização

Filtro FIR desejado: $H_d(\omega)$

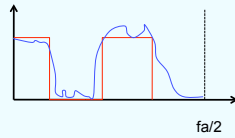
Filtro resultante : $H(\omega)$

Desvios tolerados : $D(\omega)$

$$E(\omega) = (H(\omega) - H_d(\omega))$$

$$\min_{\{b_n\}} |E(\omega)|$$

sujeito a $D(\omega)$



Algoritmo de Parks-McClellan => p. ex. firpmord e firpm (em Matlab) que retorna o filtro FIR (b) em função da ordem, freq. corte, f_a , ripple e ganho

IIR

Bibliografia

- Biosignal and Medical Image Processing. John L. Semmlow. CRC Press, 2009
- Apostila de Processamento de Sinais de Tempo Discreto. C Itiki, V H Nascimento
- Biomedical Signal Analysis. R.M. Rangayyan. Wiley Interscience, 2002
- Signals and Systems (2nd Edition) A.V. Oppenheim, A. S. Willsky, S. H. Nawab
Hardcover: 957 pages. Publisher: Prentice Hall; 1996. ISBN-10: 0138147574.